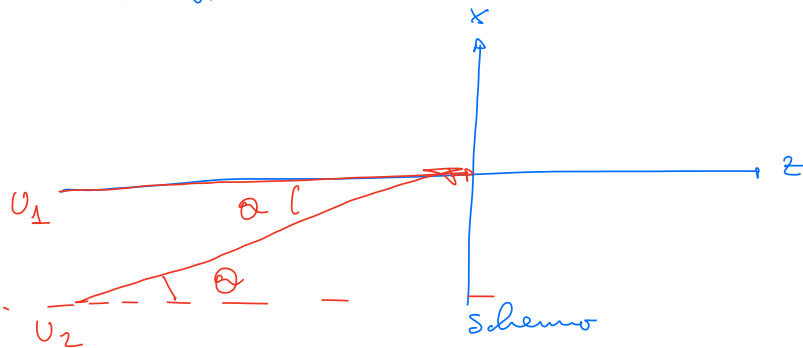


INTERFERENZA DI ONDE PIANE CHE FORMANO UN ANGOLO

Prendiamo due onde piane di uguale intensità I_0

$$U_1 = \sqrt{I_0} e^{-ikz}$$

$$U_2 = \sqrt{I_0} e^{-i(k \cos \theta z + k \sin \theta x)}$$



I vettori proporzionali formano tra loro un angolo θ .
Nel piano $z=0$, dove le fascio interferisce, sono

$$U = U_1(z=0) + U_2(z=0) = \sqrt{I_0} + \sqrt{I_0} e^{-ikx \sin \theta}$$

diff. difere $\varphi = kx \sin \theta$

$$= \sqrt{I_0} (1 + e^{-ikx \sin \theta})$$

Di conseguenza l'intensità totale I data da

$$I = |U|^2 = I_0 (1 + e^{-ikx \sin \theta})(1 + e^{+ikx \sin \theta}) =$$

$$= I_0 (1 + e^{ikx \sin \theta} + e^{-ikx \sin \theta} + 1) = 2I_0 [1 + \cos(kx \sin \theta)]$$

L'intensità I forma sullo schermo una figura di interferenza che varia sinusoidalmente con x e ha periodo spaziale $\frac{2\pi}{k \sin \theta} = \frac{\lambda}{\sin \theta}$

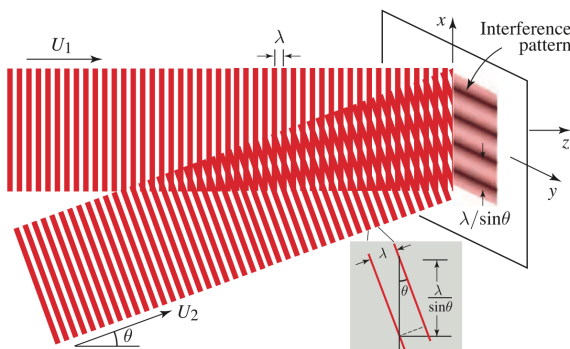


Figure 2.5-4 The interference of two plane waves traveling at an angle θ with respect to each other results in a sinusoidal intensity pattern in the x direction with period $\lambda / \sin \theta$.

Da SAUER & BICHT
"FUNDAMENTALS OF PHOTONICS"
WILEY, 2023

Esempi di applicazioni

- stampa di una figura e righe spaziate di $\frac{\lambda}{\sin \theta}$ per creare un reticolo di diffrazione.
- misurare l'angolo θ tra un'onda ed un'altra di "riferimento" \Rightarrow olografia.

INTERFERENZA DI DUE SOLENTI PUNTFORMI

Da SALET-BLICH
"FUNDAMENTALS OF PHOTONICS"
WILEY, 2023

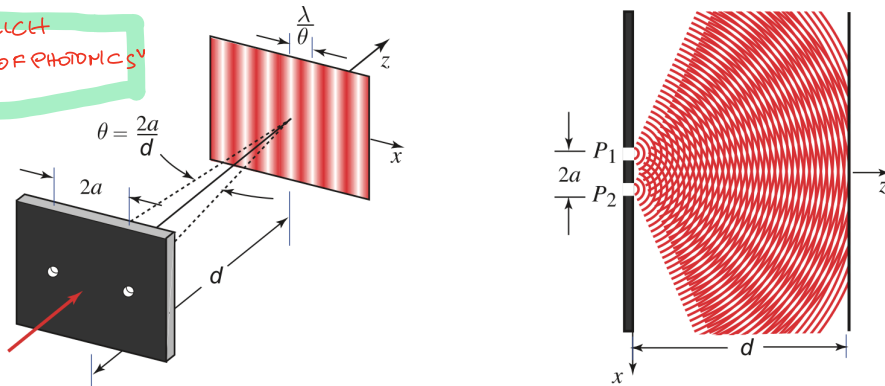
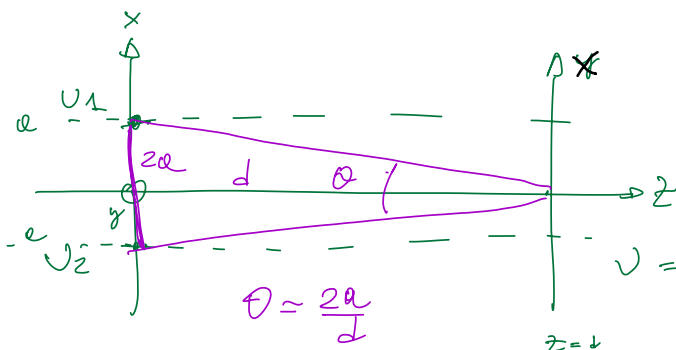


Figure 2.5-6 Interference of two spherical waves of equal intensities originating at the points P_1 and P_2 . The two waves can be obtained by permitting a plane wave to impinge on two pinholes in a screen. The light intensity at an observation plane a large distance d from the pinholes takes the form of a sinusoidal interference pattern, with period $\approx \lambda/\theta$, along the direction of the line connecting the pinholes.

Ricorda l'espressione dell'onda parabolica

$$U(\vec{r}) = \frac{A}{z} e^{-ikz} e^{-ik \frac{x^2+y^2}{2z}}$$

Scrivo allora



$$U_1 = \frac{A}{z} e^{-ikz} e^{-ik \frac{(x-a)^2+y^2}{2z}}$$

$$U_2 = \frac{A}{z} e^{-ikz} e^{-ik \frac{(x+a)^2+y^2}{2z}}$$

$$U = U_1 + U_2 = \frac{A}{z} e^{-ikz} \left(e^{-ik \frac{(x-a)^2+y^2}{2z}} + e^{-ik \frac{(x+a)^2+y^2}{2z}} \right)$$

Nel piano $z=d$

$$U(x,y,d) = \frac{Ae^{ikd}}{d} \left(e^{-ik \frac{(x-d)^2 + y^2}{2d}} + e^{-ik \frac{(x+d)^2 + y^2}{2d}} \right) =$$

$$\frac{Ae^{ikd}}{d} \left(e^{-ik \frac{x^2 + y^2 - 2dx + d^2}{2d}} + e^{-ik \frac{x^2 + y^2 + 2dx + d^2}{2d}} \right) =$$

$$\frac{Ae^{ikd}}{d} \left(e^{-ik \frac{x^2 + y^2 + d^2}{2d}} e^{i \frac{2kdx}{d}} + e^{-ik \frac{x^2 + y^2 + d^2}{2d}} e^{-i \frac{2kdx}{d}} \right) =$$

$$= e^{-ik \frac{x^2 + y^2 + d^2}{2d}} (2 \cos k_0 x) \frac{Ae^{ikd}}{d}$$

$$I(x,y,d) = |U|^2 = \frac{A^2}{d^2} (2 \cos^2 k_0 \frac{x}{d}) = \frac{2A^2}{d^2} (1 + \cos \frac{2k_0 x}{d}) =$$

$$\begin{aligned} \cos^2 d &= \cos 2d + \sin^2 d \\ \cos^2 d - \sin^2 d &= \cos 2d \\ \cos^2 d - 1 + \cos^2 d &= \cos 2d \\ \cos^2 d &= \frac{1}{2}(1 + \cos 2d) \end{aligned}$$

$$= 2I_0 (1 + \cos k_0 x) = 2I_0 (1 + \cos \frac{2\pi x}{\lambda})$$

⇒ la distribuzione dell'intensità nel piano (x,y) è periodica lungo x e ha un periodo h dato da

$$k_0(x+h) = k_0 x + 2\pi \Rightarrow h = \frac{2\pi}{k_0} = \frac{\lambda}{2}$$

INTERFERENZA DI PIÙ ONDE

• Supponiamo di avere M onde monocromatiche aventi la stessa frequenza. La loro sovrapposizione

$U = U_1 + U_2 + \dots + U_M$ genera un'onda la cui frequenza non cambia e la cui intensità $I = |U|^2$ è determinata anche dalle fasi relative delle U_j .

• La fase delle fasi è molto importante in questo tipo di interferenza

i) M onde di eguale ampiezza ed eguali differenze di fase

$$U_m = \sqrt{I_0} e^{j(m-1)\varphi} \quad m = 1, 2, \dots, M$$

φ è la differenza di fase tra le onde successive

Riscriviamo $U_m = \sqrt{I_0} h^{m-1}$ dove $h = e^{j\varphi}$

Abbiamo quindi

$$U = \sum_{m=1}^M \sqrt{I_0} h^{m-1} = \sqrt{I_0} \sum_{j=0}^{M-1} h^j = \sqrt{I_0} (1 + h + h^2 + \dots + h^{M-1})$$

$$= \sqrt{I_0} \frac{1 - h^M}{1 - h} = \sqrt{I_0} \frac{1 - e^{j\varphi M}}{1 - e^{j\varphi}}$$

Però possiamo

$$\frac{1 - e^{j\varphi M}}{1 - e^{j\varphi}} = \frac{e^{j\frac{\varphi M}{2}} e^{-j\frac{\varphi M}{2}}}{e^{j\frac{\varphi}{2}} e^{-j\frac{\varphi}{2}}} \frac{1 - e^{j\varphi M}}{1 - e^{j\varphi}} = \frac{e^{j\frac{\varphi M}{2}}}{e^{j\frac{\varphi}{2}}} \frac{e^{-j\frac{\varphi M}{2}} - e^{j\frac{\varphi M}{2}}}{e^{-j\frac{\varphi}{2}} - e^{j\frac{\varphi}{2}}}$$

$$= e^{j\frac{\varphi}{2}(M-1)} \frac{\sin \frac{\varphi M}{2}}{\sin \frac{\varphi}{2}}$$

⊗ Ricordiamo che

$$\sum_{k=0}^n x^k = \frac{1 - x^{n+1}}{1 - x}$$

Segue allora

$$I \propto |U|^2 = I_0 \frac{\sin^2 \frac{\varphi M}{2}}{\sin^2 \frac{\varphi}{2}}$$

INTERFERENZA DI M ONDE DI UGUALE AMPIEZZA E DIFF. DI FASE COSTANTE

Da SAUNDERS "FUNDAMENTALS OF PHOTONICS" WILEY, 2023

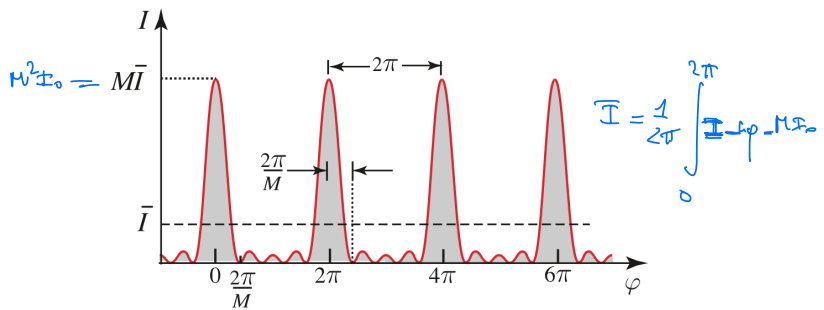
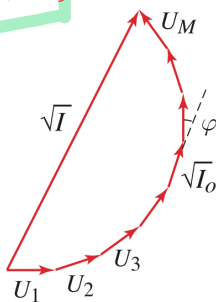
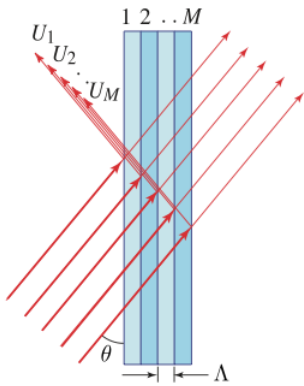


Figure 2.5-7 (a) The sum of M phasors of equal magnitudes and equal phase differences. (b) The intensity I as a function of φ . The peak intensity occurs when all the phasors are aligned; it is then M times greater than the mean intensity $\bar{I} = M I_0$. In this example $M = 5$.

ESEMPLO - Riflessione di Bragg e
angolo di Bragg -



DA SALEM-TBIKH
"FUNDAMENTALS OF PHONONICS"
WILEY, 2023

Figure 2.5-8 Reflection of a plane wave from M parallel planes separated from each other by a distance Λ . The reflected waves interfere constructively and yield maximum intensity when the angle θ is the Bragg angle θ_B . Note that θ is defined with respect to the parallel planes.

$$\Delta L = 2L = 2\Lambda \sin \theta$$

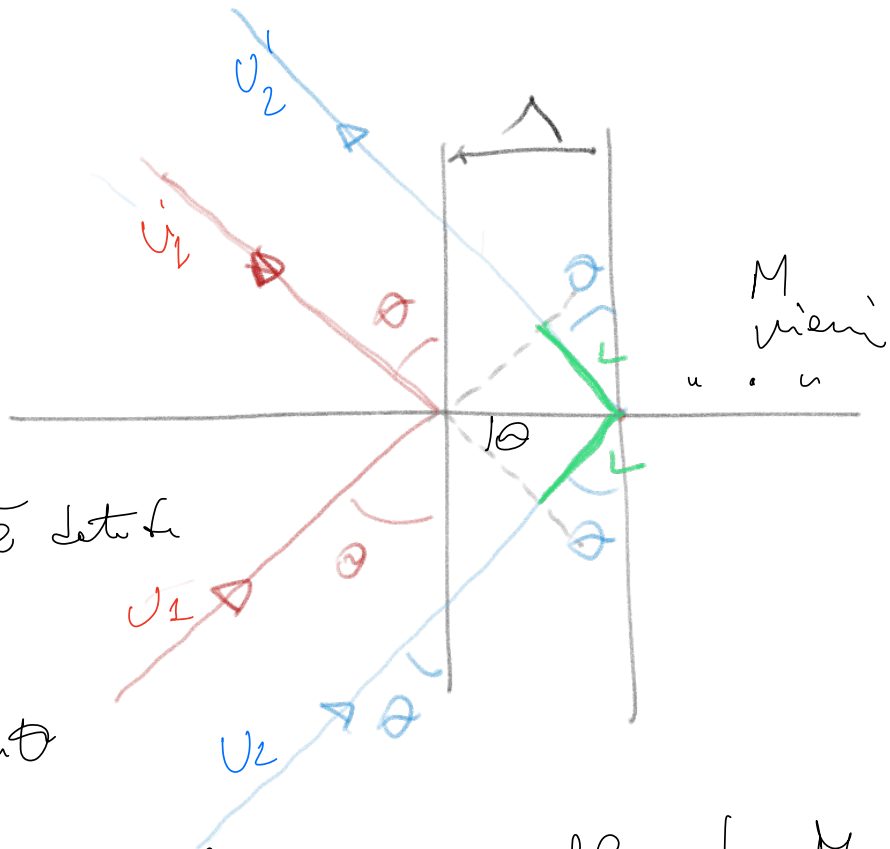
Segue che lo
spostamento è dato da

$$\frac{\Delta \phi}{2\pi} = \frac{\Delta L}{\lambda} = \frac{2\pi}{\lambda} 2\Lambda \sin \theta$$

L'interferenza delle onde riflesse da M
piani ha un massimo quando

$$\Delta \phi = 2\pi \Rightarrow 2\pi = \frac{2\pi}{\lambda} 2\Lambda \sin \theta_B$$

$$\Rightarrow \sin \theta_B = \frac{\lambda}{2\Lambda} \quad \text{ANGOLO DI BRAGG}$$



INTERFERENZA DI ∞ ONDE CON DIFF. DI FASE

COSTANTE E AMPIEZZA DECRESCENTE

Prendiamo un numero ∞ di onde con diff. di fase costante $= \varphi$ e ampiezza che decresce in maniera geometrica

$$U_1 = \sqrt{I_0} \quad U_2 = \tilde{h} U_1 = \tilde{h} \sqrt{I_0}, \quad \dots \quad U_m = \tilde{h} U_{m-1} = \tilde{h}^{m-1} U_1 = \tilde{h}^{m-1} \sqrt{I_0}$$

dove $\tilde{h} = h e^{i\varphi}$, $|h| < 1$

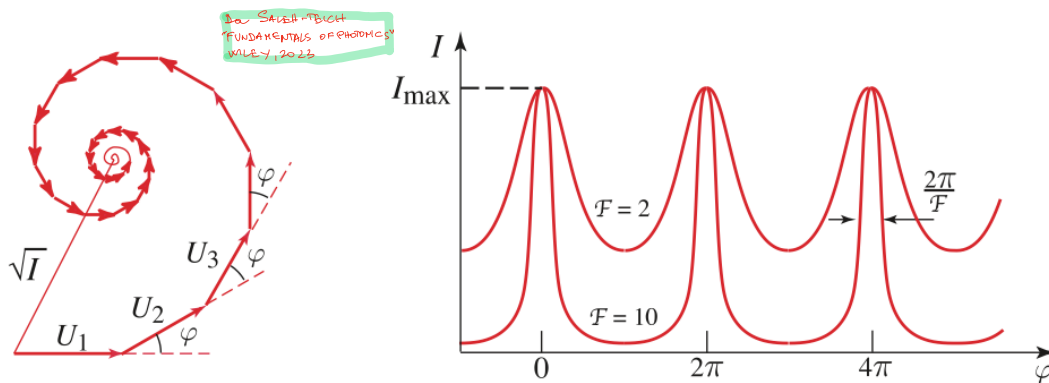


Figure 2.5-10 (a) The sum of an infinite number of phasors whose magnitudes are successively reduced at a geometric rate and whose phase differences φ are equal. (b) Dependence of the intensity I on the phase difference φ for two values of F . Peak values occur at $\varphi = 2\pi q$. The full width at half maximum of each peak is approximately $2\pi/F$ when $F \gg 1$. The sharpness of the peaks increases with increasing F .

Segue allora per l'ampiezza complessa totale

$$U = \sum_{m=1}^{\infty} U_m = \sum_{m=1}^{\infty} \tilde{h}^{m-1} \sqrt{I_0} = \sqrt{I_0} (1 + \tilde{h} + \tilde{h}^2 + \dots) = \frac{\sqrt{I_0}}{1 - \tilde{h}}$$

$$= \frac{\sqrt{I_0}}{1 - h e^{i\varphi}}$$

Nota: la serie geometrica $\sum_{k=0}^{\infty} a r^k$ converge a $\frac{a}{1-r}$ se $|r| < 1$

L'intensità è

$$I = |U|^2 = \frac{I_0}{|1 - h e^{i\varphi}|^2} = \frac{I_0}{|1 - h \cos \varphi + i h \sin \varphi|^2} = \frac{I_0}{(1 - h \cos \varphi)^2 + h^2 \sin^2 \varphi} = \frac{I_0}{(1-h)^2 + 4h^2 \sin^2 \frac{\varphi}{2}} \quad (*)$$

(*)

$$\begin{aligned}
 (1 - h \cos \varphi)^2 + h^2 \sin^2 \varphi &= 1 - 2h \cos \varphi + h^2 \cos^2 \varphi + h^2 \sin^2 \varphi = \\
 &= 1 - 2h \cos \varphi + h^2 = 1 - 2h \left(\cos^2 \varphi/2 - \sin^2 \varphi/2 \right) + h^2 = \\
 &= 1 - 2h \cos^2 \varphi/2 + 2h \sin^2 \varphi/2 + h^2 = \\
 &= 1 - 2h \left(1 - \sin^2 \varphi/2 \right) + 2h \sin^2 \varphi/2 + h^2 = \\
 &= 1 - 2h + h^2 + 4h \sin^2 \varphi/2 = (1-h)^2 + 4h \sin^2 \varphi/2
 \end{aligned}$$

L'intensità I si riscrive di solito nella forma

$$I = \frac{I_{\max}}{1 + \left(\frac{2\sqrt{I}}{\pi} \right)^2 \sin^2 \varphi/2} \quad \text{con} \quad I_{\max} = \frac{I_0}{(1-h)^2}$$

$$\mathcal{F} = \frac{\pi \sqrt{I}}{1-h} \quad \text{FINESSE}$$

Se $h \approx 1$ allora \mathcal{F} è grande e i picchi della I diventano molto stretti.

Prendiamo $|\varphi| \ll 1$ (vicino al picco) $\Rightarrow \sin \varphi/2 \approx \varphi/2$ e

$$I \approx \frac{I_{\max}}{1 + \left(\frac{I}{\pi} \right)^2 \varphi^2}$$

$$I \rightarrow \frac{I}{2} \quad \frac{I_{\max}}{1 + \left(\frac{I}{\pi} \right)^2 \varphi^2} = \frac{I_{\max}}{2}$$

$$2 = 1 + \left(\frac{I}{\pi} \right)^2 \varphi^2 \Rightarrow \varphi = \frac{\pi}{\sqrt{I}}$$

\Rightarrow la F.W.H.M. è $\Delta \varphi \approx \frac{2\pi}{\sqrt{I}}$

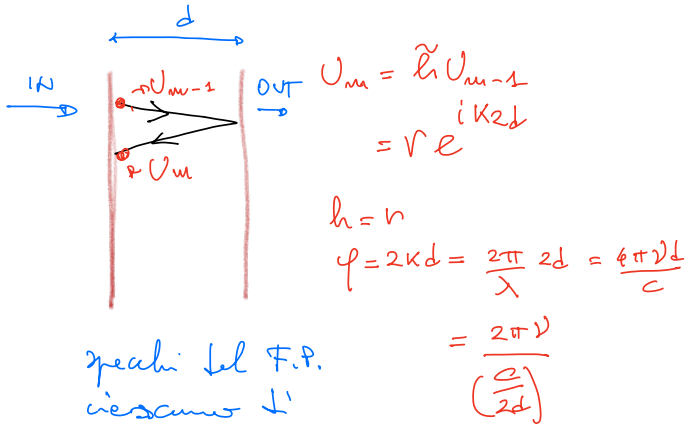
la finesse è pari al rapporto

$$\mathcal{F} = \frac{2\pi}{\Delta \varphi} \quad \text{cioè} \quad \frac{\text{periodo}}{\text{larghezza del picco o messa allargata}}$$

sono stretti: picchi e quindi quanto è sensibile

l'intensità I alle deviazioni di φ dai
 valori multipli di 2π ($2\pi q$ con $q \in \mathbb{N}$)
 che corrispondono ai minimi -

Il principale dispositivo che sfrutta l'interferenza
 multiple di ∞ fasci è **l'interferometro di Fabry-Perot**



L'intensità trasmessa è
 data come segue da

$$I = \frac{I_{max}}{1 + \left(\frac{2\sqrt{1-r}}{1+r}\right)^2 \sin^2 \varphi/2}$$

e ha dei nodi
 quando $\varphi/2 = n\pi$ $n \in \mathbb{Z}$

$$\cos^2 \frac{1}{2} \frac{2\pi\nu}{\left(\frac{c}{2d}\right)} = \cos^2 n\pi \Rightarrow \nu = n \left(\frac{c}{2d}\right)$$

L'intensità trasmessa in funzione
 della frequenza ottica ν presenta
 dei picchi a frequenze separate di $\frac{c}{2d}$, che si dice

Free Spectral Range. la larghezza in frequenza dei
 picchi è $\Delta\nu = \frac{FSR}{\mathcal{F}} = \frac{c/2d}{\mathcal{F}}$.

Rispettivamente, per un FP con specchi uguali obliqui

$$FINESSE = \mathcal{F} = \frac{\pi\sqrt{n}}{1-r} \quad FSR = \frac{c}{2d} \quad \Delta\nu = \frac{FSR}{\mathcal{F}}$$

Esempio: FP di KWSIP, specchi con $r = 0.99995$ separati
 di $d = 0.1$ m.

$$\mathcal{F} = \frac{\pi\sqrt{0.99995}}{1-0.99995} = 62798 \quad FSR = 1.5 \text{ GHz} \quad \Delta\nu = 23.89 \text{ kHz}$$

ESEMPIO - INTERFEROMETRO LIGO-VIRGO

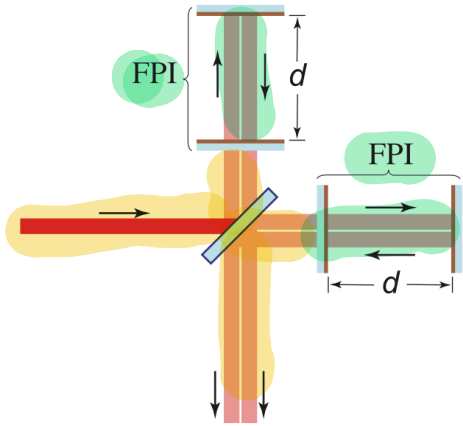


Figure 2.5-11 The LIGO interferometer is a Michelson interferometer (MI) with Fabry-Perot interferometers (FPIs) nested in each of its arms. Each FPI in the advanced-LIGO instrument has a length $d \approx 4$ km and a finesse $\mathcal{F} \approx 450$, so that the enhancement in sensitivity with respect to an ordinary MI is $2\mathcal{F}/\pi \approx 286$. The gravitational wave observed in 2015 imparted to the LIGO interferometer a differential spatial strain $(\Delta d_2 - \Delta d_1)/d \equiv \Delta d/d$ with a magnitude of roughly 5×10^{-22} , which corresponds to a differential length deviation Δd of about 2 am (some 400 times smaller than the radius of a proton). The light source was a 20-W Nd:YAG laser operated at $\lambda_0 = c_0/\nu = 1.064 \mu\text{m}$. The corresponding phase difference $\Delta\varphi_2 - \Delta\varphi_1$ thus had a magnitude of $2\pi\nu\Delta d/c_0 \approx 1.8 \times 10^{-11}$ rad; its oscillations were in the audio-frequency range 2×10^{-18} m.

- Interferometro di Michelson con interferometri di FP iniettati nei bracci del Mich.
- Il Mich rivela le differenze di fase tra i bracci che si propagano lungo i suoi bracci.
- I FP amplificano le fasi in ciascun braccio, aumentando la sensibilità dello strumento.

Poniamo:

- $\varphi = \text{diff. di fase dovuta ad una caduta ritorno nel FP.}$
- L'ampiezza complessa U dell'onda riflessa dal FP è data da $U = \frac{\sqrt{I_0}}{1 - r e^{i\varphi}}$ (r è la riflettività degli specchi)

quindi la differenza di fase totale introdotta dal FP è $\arg\{U\} = \arctan \frac{\text{Im}\{U\}}{\text{Re}\{U\}} = \arctan \left(\frac{r \sin \varphi}{1 - r \cos \varphi} \right)$

- Supponiamo di aver "accodato" il FP in modo che $\varphi = 2n\pi$ con $n \in \mathbb{N}$, cioè in un massimo di trasmissione e di introdurre una piccola perturbazione $\Delta\varphi$ ritorno - ritorno $2\Delta\varphi \ll \pi$. Si può allora espandere $\arg\{U\}$ in serie di Taylor intorno a φ e trovare

$$\boxed{\arg\{U\} = \frac{2\Delta\varphi n}{1 - r}} \quad \text{v. sotto} \downarrow$$

$$\sin \varphi \Rightarrow \sin(2\pi n + 2\Delta\varphi) = \sin(2\pi) \sin(2\Delta\varphi) + \cos(2\pi) \cos(2\Delta\varphi) = \cos(2\Delta\varphi)$$

$$\cos \varphi \Rightarrow \cos(2\pi n + 2\Delta\varphi) = \cos(2\pi) \cos(2\Delta\varphi) - \sin(2\pi) \sin(2\Delta\varphi) = \cos(2\Delta\varphi)$$

quindi $\frac{r \sin \varphi}{1 - r \cos \varphi} \rightarrow \frac{2\Delta\varphi n}{1 - r}$ e ricorrendo

$$\tan^{-1} x = x - \frac{x^3}{3} + \dots \Rightarrow \arg\{U\} = \frac{2\Delta\varphi n}{1 - r}$$

Se gli specchi hanno $r \approx 1$ (alta finezza) ovvero

$$\delta\varphi = \frac{\pi \Gamma n}{1 - r} \approx \frac{\pi}{1 - r} \quad \text{e} \quad \arg\{U\} = \frac{2\Delta\varphi}{1 - r}$$

cioè $\arg\{U\} = \left(\frac{2\Gamma}{\pi}\right) \Delta\varphi \rightarrow$ il FP semplifica lo sfasamento $\Delta\varphi$ di un fattore $\left(\frac{2\Gamma}{\pi}\right)$ che può essere molto grande

Secondo punto visto prima, l'intensità all'uscita del Michelson è $I = I_0 [1 + \cos(\varphi_2 - \varphi_1)]$

for' acquisite nei due bracci

Regoliamo il Mich. nelle "piazze" dove, cioè in modo che $\varphi_2 - \varphi_1 = \pi$ in assenza di perturbazioni. Introduciamo poi le perturbazioni ponendo $\varphi_2 = \pi + \frac{2\Gamma}{\pi} \Delta\varphi_1$ e $\varphi_1 = \frac{2\Gamma}{\pi} \Delta\varphi_2$.

Segue quindi che $I = I_0 \left[1 - \cos \left[\frac{2\Gamma}{\pi} (\Delta\varphi_2 - \Delta\varphi_1) \right] \right]$ (*)
 Fattore di semplificazione

*) $\varphi_2 = \pi + \delta_2$, $\varphi_1 = \delta_1 \Rightarrow \varphi_2 - \varphi_1 = \pi + (\delta_2 - \delta_1) = \alpha + \beta$

$$\cos(\varphi_2 - \varphi_1) = \cos(\alpha + \beta) = \cos \alpha \cos \beta - \sin \alpha \sin \beta = \cos \pi \cos(\delta_1 - \delta_2) - \sin(\pi) \sin(\delta_1 - \delta_2) = -\cos(\delta_1 - \delta_2)$$

ONDE POLICROMATICHE E IMPULSATE

- Un'onda policromatica è sempre descritta da una funzione d'onda $u(\vec{r}, t)$, che però non è armonica.
- Si può tuttavia espanderla $u(\vec{r}, t)$ in serie di Fourier e utilizzare quanto già visto sulla propagazione di onde armoniche monocromatiche.

$$u(t) = \int_{-\infty}^{+\infty} \tilde{U}(\nu) e^{i2\pi\nu t} d\nu \quad (\text{in una posizione } \vec{r} \text{ fissata})$$

i coefficienti di Fourier sono in generale $\in \mathbb{C}$ e dato da

$$\tilde{U}(\nu) = \int_{-\infty}^{+\infty} u(t) e^{-i2\pi\nu t} dt \quad \text{TRASFORMATA DI FOURIER}$$

Notiamo che dato che $u(t) \in \mathbb{R}$ $\tilde{U}(-\nu) = \tilde{U}^*(\nu)$
(è una proprietà delle trasformate di Fourier)

- Si può rappresentare la funzione $u(t) \in \mathbb{R}$ con una funzione $\in \mathbb{C}$ $U(t) = \int_0^{\infty} \tilde{U}(\nu) e^{i2\pi\nu t} d\nu$ \odot
che include solo le frequenze positive.

Segue che la T.F. di $U(t)$ è $V(\nu) = \begin{cases} 2\tilde{U}(\nu) & \nu \geq 0 \\ 0 & \nu < 0 \end{cases}$

Notando che

$$u(t) = \text{Re} \{ U(t) \} = \frac{1}{2} [U(t) + U^*(t)] \quad \odot$$

la funzione $U(t)$ è detta segnale analitico complesso.

\odot Dimostrazione

$$u(t) = \int_0^{\infty} \tilde{U}(\nu) e^{i2\pi\nu t} d\nu + \int_{-\infty}^0 \tilde{U}(\nu) e^{i2\pi\nu t} d\nu = \frac{1}{2} U(t) + \int_0^{\infty} \tilde{U}(-\nu) e^{-i2\pi\nu t} d\nu =$$

(v. sopra)

cambio di variabile $\nu \rightarrow -\nu$

$$= \frac{1}{2} U(t) + \frac{1}{2} U^*(t) \quad \text{C.V.D.}$$

Esempio

$u(t) = \cos(\omega t)$ dove $U(t) = e^{i\omega t}$

Infatti

$$\begin{aligned} u(t) &= \frac{1}{2}(U^* + U) = \\ &= \frac{1}{2}(e^{-i\omega t} + e^{i\omega t}) \\ &= \cos \omega t \end{aligned}$$

⇒ corrisponde alla rappresentazione complessa.

In questo caso $V(\nu) = \delta(\nu' - \nu)$ e

$$U(t) = \int_{-\infty}^{+\infty} \delta(\nu' - \nu) e^{i2\pi\nu t} d\nu = e^{i2\pi\nu t} = e^{i\omega t}$$

Se introduco anche la dipendenza spaziale sulla $u(\vec{r}, t) \rightarrow U(\vec{r}, t)$ funzione d'onda complessa.

~~è~~ $\in \mathbb{C}$

→ Si assume ogni componente di Fourier della $U(\vec{r}, t)$ soddisfa l'equazione d'onda, anche $U(\vec{r}, t)$ la soddisfa

$$\nabla^2 U - \frac{1}{c^2} \frac{\partial^2 U}{\partial t^2} = 0$$

→ Esempi specifici per un'onda quasi-monocromatica con componenti di Fourier confinate in una banda ristretta $\Delta\nu$

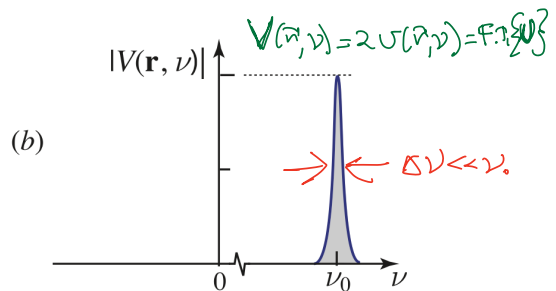
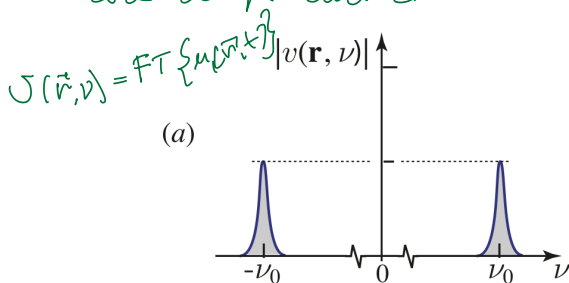


Figure 2.6-1 (a) The magnitude $|v(\mathbf{r}, \nu)|$ of the Fourier transform of the wavefunction $u(\mathbf{r}, t)$. (b) The magnitude $|V(\mathbf{r}, \nu)|$ of the Fourier transform of the corresponding complex wavefunction $U(\mathbf{r}, t)$.

Intensità di un'onda policonometrica

$$I(\vec{r}, t) = 2 \langle u^2(\vec{r}, t) \rangle = \text{media temporale}$$

$$= 2 \left\langle \left[\frac{1}{2} (U^* + U) \right]^2 \right\rangle = \frac{1}{2} \langle U^2 \rangle + \frac{1}{2} \langle U^{*2} \rangle + \langle U \cdot U^* \rangle$$

Se la media temporale $\bar{\quad}$ è fatta su periodi T tali che $\frac{1}{\nu_0} \ll T \ll \frac{1}{\Delta\nu}$

$\nu_0 \rightarrow$ freq. centrale
 $\Delta\nu \rightarrow$ bande di frequenza

allora!

$\langle U^2 \rangle$ oscilla a $2\nu_0$
 $\langle U^{*2} \rangle$ oscilla a $-2\nu_0$ } \rightarrow i mediatori
 entrambi a zero

ma $\langle U \cdot U^* \rangle$ oscilla a $\sim \Delta\nu \ll \nu_0 \Rightarrow$ rimane

Segue allora

$$I(\vec{r}, t) = \langle U \cdot U^* \rangle = |U(\vec{r}, t)|^2$$

ONDA POLICROMATICA

ONDA PIANA IMPULSATA

$$U(\vec{r}, t) = \underbrace{A\left(t - \frac{z}{c}\right)}_{\text{inviluppo complesso}} e^{i 2\pi \nu_0 \left(t - \frac{z}{c}\right)}$$

Si propaga
lungo z

inviluppo complesso

$A(t)$ varia nel tempo

ν_0 è la frequenza centrale

(Se $A(t) =$ costante in z l'onda viene monocromatica)

Visto che $U(\vec{r}, t)$ è funzione dell'argomento $(t - \frac{z}{c})$
 allora valdente $\nabla^2 U - \frac{1}{c^2} \frac{\partial^2 U}{\partial t^2} = 0$ indipendentemente
 dalla forma di A

→ Se A è un impulso di durata τ , ad ogni
 istante t fissato l'onda è lunga $c\tau$, cioè
 è un pacchetto d'onda di lunghezza finita
 che si muove lungo z

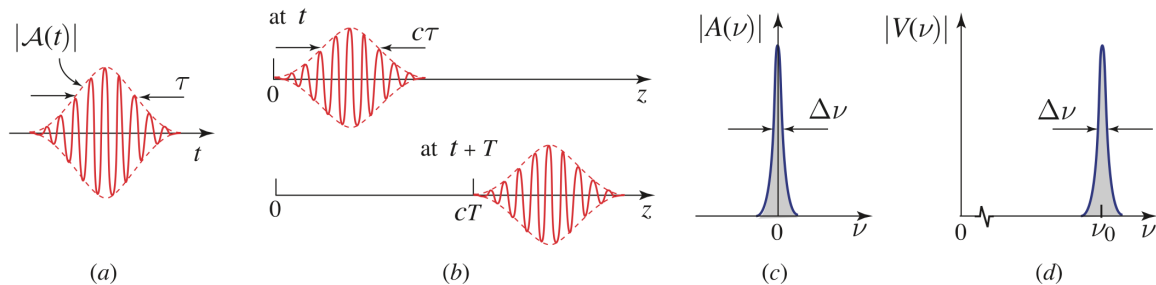


Figure 2.6-2 Temporal, spatial, and spectral characteristics of a pulsed plane wave. (a) The wavefunction at a fixed position has duration τ . (b) The wavefunction as a function of position at times t and $t + T$. The pulse travels with speed c and occupies a distance $c\tau$. (c) The magnitude $|A(\nu)|$ of the Fourier transform of the complex envelope. (d) The magnitude $|V(\nu)|$ of the Fourier transform of the complex wavefunction is centered at ν_0 .

Si ha che

$$\text{F.T. } \{U\} = V(\vec{r}, \nu) = A(\nu - \nu_0) e^{-i 2\pi \nu \frac{z}{c}}$$

dove $\text{F.T. } \{A(t)\} = A(\nu)$ e $\nu_0 = \frac{\omega_0}{2\pi} = \frac{k_0}{c}$

→ proprietà di
 massima della
 frequenza dell'
 F.T.

• la funzione $A(t)$ è di solito variabile lentamente
 rispetto a $\frac{1}{\nu_0}$ ("optical cycle") $\Rightarrow A(\nu)$ ha $\Delta\nu \ll \nu_0$

• Inoltre se $A(t)$ è gaussiana, lo è anche $A(\nu)$ e
 si può vedere che $\Delta\nu \Delta t = \frac{1}{2\pi}$

Esempio
 $\tau = 1 \text{ ps} \Rightarrow \Delta\nu = 80 \text{ GHz}$
 Se $\nu_0 = 5 \times 10^{14} \text{ Hz}$ (luce visibile)
 $\Rightarrow \frac{\Delta\nu}{\nu_0} = 1.6 \times 10^{-4} \Rightarrow$ quasi
 monofrequenza